

# ПАРАМЕТРИЧЕСКОЕ ИССЛЕДОВАНИЕ ОБРАЗОВАНИЯ ОКСИДОВ АЗОТА ПРИ ГОРЕНИИ ОДНОРОДНОЙ МЕТАНОВОЗДУШНОЙ СМЕСИ

Д. В. Волков, С. А. Зайцев, В. Ф. Гольцов

Научно-исследовательский центр ЭКОЛЭН, 111250 Москва

На примере модельной задачи о распространении нормального фронта пламени в метановоздушной смеси оценена роль различных механизмов образования  $\text{NO}_x$  при вариации давления, температуры и состава смеси. Показано, что при горении околостехиометрических смесей ведущую роль играет термический механизм, в бедных смесях —  $\text{N}_2\text{O}$ -механизм, а в богатых — «быстрый». Представлено сравнение с результатами расчетов прямой кинетической задачи, и показано, что эта более простая модель позволяет удовлетворительно описывать образование  $\text{NO}_x$  в бедных и околостехиометрических пламенах.

## ВВЕДЕНИЕ

Снижение эмиссии оксидов азота  $\text{NO}_x$  является наиболее сложной задачей, связанной с совершенствованием экологических характеристик камер сгорания энергетических установок. При сжигании традиционных газообразных топлив оксиды  $\text{NO}_x$  образуются, в основном, за счет окисления азота воздуха в наиболее высокотемпературных областях камер сгорания. При этом выделяют три основных механизма (см., например, [1, 2]):

- (i) термический (механизм Зельдовича) — непосредственное окисление азота кислородом в высокотемпературных зонах;
- (ii) «быстрый» («prompt NO») — через реакции  $\text{N}_2$  с углеводородными радикалами;
- (iii)  $\text{N}_2\text{O}$ -механизм — через реакции с образованием  $\text{N}_2\text{O}$  как промежуточного вещества.

В традиционных камерах сгорания с раздельной подачей топлива и воздуха основные химические процессы происходят в областях с околостехиометрическим составом (диффузионный режим горения). При этом большая часть  $\text{NO}$  образуется по термическому механизму (i). Существующие теоретические модели [3] и экспериментальные данные свидетельствуют о том, что снизить до приемлемого уровня эмиссию  $\text{NO}_x$  для камер такого типа чрезвычайно сложно.

В последние годы появились камеры сгорания с предварительным смешением горючего с окислителем, в которых преобладает режим горения гомогенной смеси. Резкое снижение эмиссии  $\text{NO}_x$  (2–4-кратное для уже существующих

промышленных образцов по сравнению с «диффузионными камерами») достигается за счет изменения состава смеси и снижения температуры в зонах реакций. Поиск путей дальнейшего совершенствования камер сгорания с предварительным смешением продолжается. Поэтому значительный интерес представляет моделирование деталей физико-химических процессов, приводящих к образованию  $\text{NO}_x$  в перемешанных пламенах. Дело в том, что снижение температуры перемешанной смеси и изменение ее состава в зонах реакции при горении приводят к уменьшению роли термического механизма образования  $\text{NO}_x$ . Поэтому в отличие от традиционных камер сгорания эмиссионные характеристики (и пределы их улучшения) камер сгорания с предварительным смешением могут в значительной степени определяться механизмами (ii), (iii).

Цель настоящей работы состояла в оценке возможного вклада различных механизмов в образование  $\text{NO}_x$  в условиях, типичных для энергетических установок различных типов (камеры сгорания газотурбинной установки (ГТУ) и т. д.), работающих на предварительно перемешанной смеси природного газа (метан) с воздухом. В качестве модельной задачи для получения этих оценок рассмотрена известная постановка о распространении нормального фронта пламени.

## МАТЕМАТИЧЕСКАЯ МОДЕЛЬ

Основные особенности постановки задачи о стационарном распространении ламинарного

пламени изложены в [4]. Показано, что стационарное изобарическое одномерное течение горючей смеси описывается следующей системой уравнений:

$$\rho u \frac{dc}{dx} + \frac{d\mathbf{J}}{dx} - \mathbf{W} = 0, \quad (1)$$

где  $x$  — координата по нормали к фронту пламени;  $\rho$  — плотность;  $u$  — скорость ( $\rho u = \text{const}$ );  $\mathbf{c} = \{h, c_1, \dots, c_K\}^T$ ,  $K$  — число компонентов;  $h$  — энталпия смеси;  $c_k$  — массовая доля  $k$ -го компонента ( $k = 1, \dots, K$ );  $\mathbf{W} = \{0, W_1, \dots, W_K\}^T$ ;  $W_k$  — скорость образования/расхода  $k$ -го компонента;  $\mathbf{J} = \{q, J_1, \dots, J_K\}^T$ ;  $q$  — тепловой поток,  $J_k$  — диффузионный поток  $k$ -го компонента. Радиационный перенос тепла в (1) не учитывался.

Термическое и калорическое уравнения состояния имели вид

$$\rho = \frac{p\mu}{RT}, \quad h = \sum_{k=1}^K c_k h_k(T),$$

где  $p$  — давление (заданное);  $\mu$  — молекулярная масса смеси;  $T$  — температура;  $R$  — универсальная газовая постоянная;  $h_k(T) = h_k^0 + \int_{T_0}^T c_{p,k}(T) dT$  — удельные энталпии компонентов с учетом энталпий образования  $\dot{h}_k^0$ ;  $c_{p,k}$  — удельные теплоемкости компонентов при постоянном давлении.

Удельные энталпии компонентов аппроксимировали полиномами седьмой степени по температуре, коэффициенты которых взяты из [5].

Кинетику окисления метана и образования оксидов азота аппроксимировали схемой Миллера — Боумана [1]. Суммарная кинетическая схема включала в себя 235 элементарных реакций между 51 компонентом. Константы скоростей обратных реакций находили через константы скоростей прямых реакций и константы равновесия, которые, в свою очередь, рассчитывали с использованием аппроксимаций энталпии и энтропии из [5].

Поскольку задачу решали численно, граничные условия задавали на конечном расстоянии от зоны реакции в некоторых достаточно удаленных точках. На входной (левой) границе задавали состав  $c_k^0$  и температуру  $T^0$  исходной смеси (индекс сверху нуль обозначает параметры исходной смеси). Чтобы уменьшить влияние конечной длины расчетной области, на вы-

ходной (правой) границе задавали асимптотические условия вида  $d^2T/dx^2 = 0$ ,  $d^2c_k/dx^2 = 0$ .

Скорость распространения фронта пламени относительно холодной смеси определяли, задавая на левой границе дополнительное условие (любое из равносильных):  $dT/dx = 0$  или  $dc_k/dx = 0$ , где в качестве  $c_k$  может быть взята концентрация любого из реагирующих компонентов.

В модели переноса термодиффузия и диффузионный термоэффект не учитывались. Диффузионные потоки компонентов в (1) определяли из соотношений Стефана — Максвелла [6], записанных в виде, предложенном в [7]. Тепловой поток  $q$ , входящий в систему (1), рассчитывали по формуле

$$q = -\lambda \frac{dT}{dx} + \sum_{k=1}^K h_k J_k,$$

а коэффициент теплопроводности смеси  $\lambda$  — по приближенной формуле Мэйсона и Саксены [8]. Учет внутренних степеней свободы для многоатомных компонентов проводили с помощью поправки Эйкена [6]. Коэффициенты бинарной диффузии и теплопроводности отдельных компонентов рассчитывали по формулам молекулярно-кинетической теории газов [6] в предположении, что взаимодействие молекул описывается потенциалом Леннарда — Джонса. Используемые интегралы столкновений аппроксимировали формулами Н. А. Анфимова как функции приведенной температуры:  $T_{ik}^* = T/\theta_{ik}$ , где  $\theta_{ik}$  — характеристическая температура (см. [9]). Значения параметров потенциала Леннарда — Джонса для молекул одного сорта  $\theta_{kk}$  и  $\sigma_{kk}$  (диаметр столкновений) брали из [10], а для молекул разных сортов определяли по приближенным формулам [6]:

$$\sigma_{ik} = (\sigma_{ii} + \sigma_{kk})/2, \quad \theta_{ik} = \sqrt{\theta_{ii}\theta_{kk}}.$$

## ВЫЧИСЛИТЕЛЬНАЯ ПРОЦЕДУРА

Систему уравнений (1) решали численно методом установления. Концентрацию одного из компонентов (молекулярного азота) определяли на каждой итерации из условия нормировки. Переход с известного слоя по релаксационной переменной  $\tau^n$  на новый слой  $\tau^{n+1}$  выполнялся по неявной разностной схеме:

$$\left\{ \rho^n + \Delta\tau \left[ (\rho u)^n I \frac{d}{dx} - \frac{d}{dx} D^n \frac{d}{dx} \right] - \left( \frac{\partial \mathbf{W}}{\partial \mathbf{c}} \right)^n \right\} \Delta \mathbf{c} = \\ = \Delta\tau \left[ \mathbf{W}^n - (\rho u)^n \frac{d\mathbf{c}^n}{dx} - \frac{d\mathbf{J}^n}{dx} \right], \quad (2)$$

где  $\Delta \mathbf{c} = \mathbf{c}^{n+1} - \mathbf{c}^n$ ,  $\Delta \tau = \tau^{n+1} - \tau^n$ ;  $I$  — единичная матрица;  $D$  — диагональная матрица с элементами  $D_{00} = \lambda/c_p$ ,  $D_{kk} = \rho D_k$ ,  $k = 1, \dots, K$ . Здесь использован прием, предложенный в [11]: расчет эффективных коэффициентов диффузии компонентов  $D_k$  в неявной части (2) проводили по приближенным формулам Уилки [12]. Следует подчеркнуть, что такая аппроксимация неявной части не влияет на точность стационарного решения, так как в правую часть схемы (2), определяющую установившееся решение, входят диффузионные потоки, рассчитанные по соотношениям Стефана — Максвелла.

Для аппроксимации конвективных членов в левой части уравнений (2) использовали схему первого порядка с разностями против потока, а для аппроксимации конвективных членов в правой части (2) — лимитированную схему третьего порядка [13]. Диффузионные члены в (2), а также производные, входящие в выражение для теплового потока и соотношения Стефана — Максвелла аппроксимировали центрально-разностной схемой второго порядка.

Для линеаризации теплового потока и химических источников производную от температуры выражали через производные от энталпии и концентраций компонентов:

$$dT = \frac{dh}{c_p} - \sum_{k=1}^K \frac{h_k}{c_p} dc_k. \quad (3)$$

Химические источниковые члены  $W_k$  линеаризовали по концентрациям компонентов и энталпии, при этом элементы матрицы Якоби  $(\frac{\partial W_k}{\partial c_j})$  вычисляли аналитически с учетом соотношений (3). Такая форма линеаризации источниковых членов при совместном решении системы уравнений (2) обеспечивала достаточно высокие устойчивость и скорость сходимости численной процедуры.

Для соблюдения условия консервативности вычислительной процедуры основные параметры течения ( $h$ ,  $T$ ,  $c_k$ ,  $\rho$ ) определяли в узлах разностной сетки, а коэффициенты переноса, тепловой и диффузионные потоки — в серединах интервалов  $[x_i, x_{i+1}]$ .

Результирующая матрица конечно-разностной системы (2) имела блочно-трехдиагональную форму и обращалась (на каждом слое по релаксационной переменной  $\tau$ ) методом матричной прогонки.

Расчеты проводили с использованием составной аддитивной сетки по пространствен-

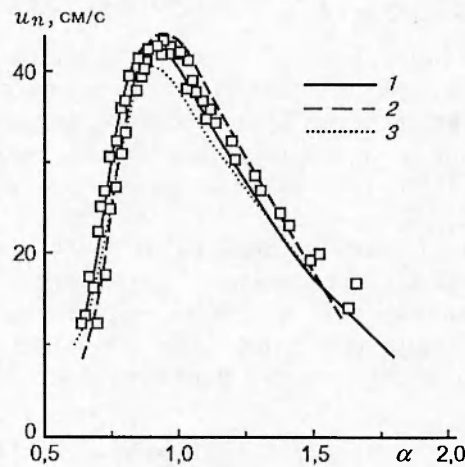


Рис. 1. Скорость распространения нормального фронта пламени в метановоздушных смесях с различными коэффициентами избытка воздуха при  $p = 0,1$  МПа,  $T^0 = 300$  К:

точки — экспериментальные данные различных авторов, собранные в [15]; 1 — данный расчет; 2 — расчет [15]; 3 — расчет [14]

ной переменной. Сетка состояла из участка с равномерным разбиением в зоне химических реакций и экспоненциальных участков в направлении исходной смеси и продуктов горения.

## ТОЧНОСТЬ РАСЧЕТОВ

Для контроля влияния сеточного разбиения были проведены расчеты распространения пламени по стехиометрической метановоздушной смеси при  $p = 0,1$  МПа и  $T^0 = 300$  К с использованием трех сеток (45, 90 и 180 узлов). Проведенная экстраполяция на нулевой сеточный шаг показала, что для сетки, состоящей из 180 узлов, точность предсказания всех концентраций (включая радикалы) в экстремумах не хуже 1 %. Эту сетку и применяли в основной серии расчетов.

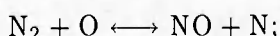
Для оценки применимости используемых моделей также было проведено сравнение рассчитанной скорости распространения нормального фронта пламени ( $u_n$ ) с некоторыми известными экспериментальными данными и результатами расчетов [14, 15] (рис. 1). Видно, что результаты расчетов лежат в пределах разброса экспериментальных данных и их точность не хуже известных результатов моделирования.

## РЕЗУЛЬТАТЫ И ОБСУЖДЕНИЕ

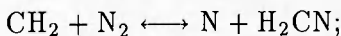
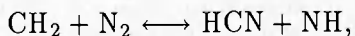
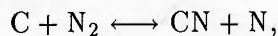
В табл. 1 представлена сводка базовых режимов, для которых была проведена основная серия расчетов. Они приближенно соответствовали характерному уровню параметров в топках ТЭЦ (А1) и в камерах сгорания ГТУ (Б1, Б2).

Вклад механизмов (i)–(iii) в образование NO на различных режимах определяли по их доле в процессе расходования молекул N<sub>2</sub>:

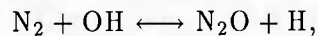
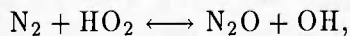
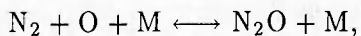
1) термический механизм (механизм Зельдовича) — по скорости расходования N<sub>2</sub> в реакции



2) «быстрый» механизм — по скорости расходования N<sub>2</sub> в реакциях



3) N<sub>2</sub>O-механизм — по скорости расходования N<sub>2</sub> в реакциях



Скорости указанных реакций интегрировали для получения полного количества N<sub>2</sub>, пропагировавшего по определенному механизму к данному моменту времени. Конечно, скорость расхода N<sub>2</sub> не всегда совпадает со скоростью образования NO, поскольку оно может происходить через образование промежуточных веществ. Тем не менее разрушение молекулярного азота является медленной стадией, и поэтому его баланс оказывается хорошим средством для оценки вклада различных механизмов [2].

Таблица 1  
Расчетные случаи

Вариант расчета	$p$ , МПа	$T^0$ , К	$\alpha$
A1	0,1	300	1,0
A2	1,0	600	1,0
B1	1,0	600	1,8
B2	1,0	600	0,65

Результаты расчетов представлены в той же форме, что в работе [2], т. е. в виде зависимостей от времени пребывания:

$$t = \int_{x_0}^x \frac{dx'}{u(x')},$$

где  $u(x)$  — скорость реагирующей смеси, а за начало отсчета выбрана точка ( $x_0$ ), в которой температура смеси достигала 1000 К.

Некоторые количественные результаты расчетов представлены в табл. 2.

Рис. 2,а (см. также табл. 2) иллюстрирует баланс расходования молекулярного азота для случая А1 ( $p = 0,1$  МПа,  $T^0 = 300$  К, коэффициент избытка воздуха  $\alpha = 1$ ). Видно, что в этих условиях определяющую роль играет термический механизм. «Быстрый» механизм играет заметную роль только внутри основной зоны реакций ( $t < 1$  мс). Вклад N<sub>2</sub>O-механизма медленно растет со временем при одновременном уменьшении вклада «быстрого» механизма (количество азота, израсходованного по «быстрому» механизму, практически не изменяется после  $t = 1$  мс). Полученные результаты хорошо согласуются с результатами расчета [2]. Небольшие ( $\approx 5\%$ ) различия в значениях концентрации NO объясняются некоторым отличием составных частей математических моделей.

Определяющая роль термического механизма при горении околостехиометрических смесей сохраняется и при повышенных давлениях (случай А2). Оценки роли механизмов в этом случае практически совпадают со случаем А1 (см. табл. 2).

Особый интерес представляет процесс образования NO<sub>x</sub> в бедных смесях при повышенных значениях  $p$  и  $T^0$ , поскольку именно такие условия реализуются в перспективных ГТУ. При обеднении смеси снижается температура пламени, а с ней и роль термического механизма. Роль различных механизмов для случая Б1 ( $p = 1,0$  МПа,  $T^0 = 600$  К,  $\alpha = 1,8$ ) показана на рис. 2,б (см. также табл. 2). Видно, что здесь картина совершенно иная, чем в случае А1. Основной вклад вносит N<sub>2</sub>O-механизм, что согласуется с результатами [16], причем на начальном этапе этот механизм обеспечивает реагирование большого количества азота, а затем он же приводит к восстановлению более чем половины этого азота. К моменту времени  $t = 2$  мс скорость расходования молекулярного азота по N<sub>2</sub>O-механизму приближается к нулю.

Таблица 2

Результаты расчетов. Вклад различных механизмов в разрушение  $N_2$   
и концентрации основных N-содержащих веществ к моменту времени  $t = 5$  мс

Вариант расчета	Баланс разрушения $N_2$ , %			Концентрация N-содержащих веществ, ppm			
	термический	«быстрый»	$N_2O$ -механизм	NO	$N_2O$	$NH_3$	$NCH$
A1	84	4	12	83	—	—	—
A2	88	$\approx 1$	11	830	—	—	—
B1	18	3	79	5,3	0,5	—	—
B2	$\approx 1$	86	13	4,3	—	4,6	4,6

Примечание. Для случая A2 результаты приведены для времени пребывания  $t = 2$  мс.

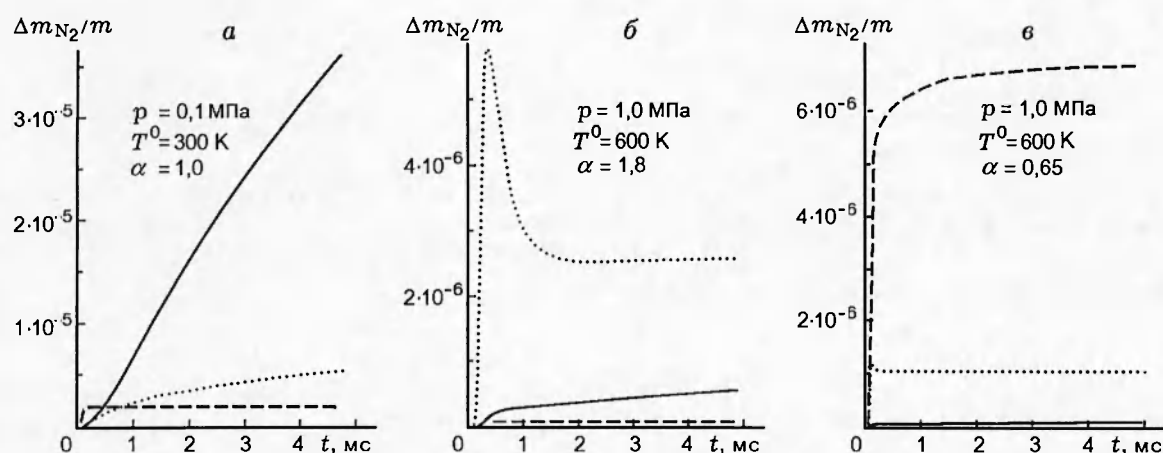


Рис. 2. Баланс расходования молекулярного азота:

$m$  — масса смеси,  $\Delta m_{N_2}$  — убыль массы  $N_2$ ; сплошные линии — термический механизм, штриховые — «быстрый», пунктирные —  $N_2O$ -механизм

Такое изменение баланса молекулярного азота связано с тем, что не все продукты разрушения азота по  $N_2O$ -механизму доокисляются до NO. Часть этих веществ через некоторое время вновь образует молекулярный азот, а заметная часть  $N_2O$  сохраняется в продуктах сгорания в виде устойчивого соединения вплоть до достижения равновесного состояния.

Для богатых смесей роль термического механизма уменьшается, а определяющим становится «быстрый» механизм (случай B2, рис. 2, в, табл. 2). В целом, расчеты показали, что термический механизм можно не учитывать при  $\alpha < 0,7$ . Результаты расчетов свидетельствуют о том, что для правильно-го количественного описания образования NO в богатых смесях нельзя пренебречь  $N_2O$ -механизмом (см. рис. 2, в). При этом важно и то, что при горении богатых смесей существенную роль играют процессы раскисления NO, а

в продуктах сгорания содержится заметное количество  $NH_3$  и  $HCN$ . В наших расчетах при  $\alpha < 0,7$  концентрации  $NH_3$  и  $HCN$  в продуктах сгорания были сопоставимы с концентрацией NO.

Результаты параметрических расчетов распределения молярной доли NO в нормальном фронте пламени при различных значениях  $\alpha$  представлены на рис. 3 для режима  $p = 1,0$  МПа,  $T^0 = 600$  К. Видно, что они хорошо согласуются с выводами, полученными на основе рассмотрения баланса расходования молекулярного азота.

Проведенные расчеты показали, что изменение концентрации NO при изменении давления имеет достаточно сложный (подчас даже немонотонный) характер, особенно в областях (по  $\alpha$ ), где вклады всех трех механизмов в расходование  $N_2$  сопоставимы между собой, поскольку их зависимость от давления раз-

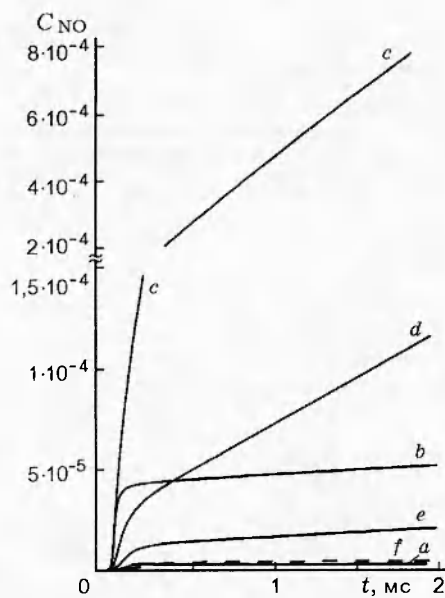


Рис. 3. Влияние коэффициента избытка воздуха в смеси на концентрацию NO в ламинарном пламени:

$p = 1,0 \text{ МПа}$ ,  $T^0 = 600 \text{ K}$ ;  $\alpha = 0,65$  (a), 0,8 (b), 1,0 (c), 1,3 (d), 1,5 (e), 1,8 (f)

лична. По мнению авторов, это обстоятельство должно сильно сужать диапазон применимости и ограничивать универсальность различных полуэмпирических соотношений, которые часто используются в инженерной практике для оценки индекса эмиссии оксидов азота в зависимости от режимных параметров горелочного устройства (давления, коэффициента избытка воздуха, времени пребывания и т. д.).

Для оценки эмиссионных характеристик камер сгорания часто используют результаты расчетов эволюции реагирующей смеси, полученные из решения прямой кинетической задачи:

$$\rho \frac{dc}{dt} - W = 0.$$

При этом эффектами молекулярного переноса пренебрегают, а инициирование интенсивной волны химических реакций достигается за счет подведения к системе импульса тепла довольно большой мощности (см., например, [17]). Было интересно сравнить предсказания такой модели с расчетами образования  $\text{NO}_x$  в ламинарном фронте пламени. Выбрано три режима:  $\alpha = 0,65$  (преобладает «быстрый» механизм),  $\alpha = 1,0$  (преобладает термический механизм) и  $\alpha = 1,8$  (преобладает  $\text{N}_2\text{O}$ -механизм) при

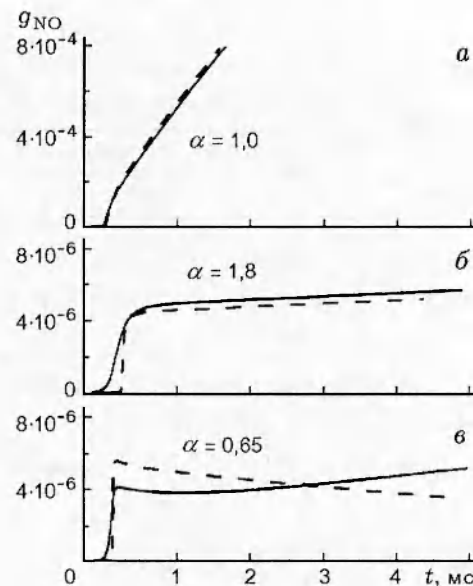


Рис. 4. Сравнение результатов расчетов массовой доли NO методом ламинарного факела (сплошные линии) и прямым кинетическим методом (штриховые линии)

$p = 1,0 \text{ МПа}$ ,  $T^0 = 600 \text{ K}$ . Результаты сравнительных расчетов представлены на рис. 4. Видно, что применение нового метода не приводит к каким-либо значительным погрешностям, когда генерация оксидов азота происходит в основном в послепламенной зоне по термическому механизму (случай  $\alpha = 1$ ). Различие в предсказаниях увеличивается в том случае, когда роль «фронтовых» NO возрастает (случай  $\alpha = 1,8$ ). Однако в целом прямой кинетический расчет удовлетворительно описывает генерацию NO по  $\text{N}_2\text{O}$ -механизму в послепламенной зоне при горении бедной смеси, и различие с результатами расчета по модели ламинарного факела невелико. Заметные различия в предсказаниях получены для случая горения богатой смеси ( $\alpha = 0,65$ ). Дело в том, что в этих условиях генерация оксидов азота определяется «быстрым» механизмом, когда разрушение молекулярного азота происходит через реакции (ii) с участием углеводородных радикалов ( $\text{CH}$ ,  $\text{CH}_2$ ). Анализ показал, что часто используемая в прямом кинетическом режиме процедура инициирования волны химических реакций за счет подведения импульса тепла к системе значительно влияет на пиковые значения и распределение концентраций углеводородных радикалов в зоне реакций. Полученные

в этих расчетах пиковые значения концентраций  $\text{CH}$  и  $\text{CH}_2$  почти на порядок отличаются от результатов расчетов по модели ламинарного пламени. Поэтому разные значения предсказываемых концентраций  $\text{NO}$  при горении богатой смеси демонстрируют принципиальное различие рассматриваемых моделей при анализе процессов внутри фронта пламени.

Авторы признательны М. Х. Стрельцу, М. Л. Шуру и Ю. Е. Егорову (ГИПХ, Санкт-Петербург), в тесном сотрудничестве с которыми была создана первая версия программы расчета стационарного распространения ламинарного пламени. Мы также признательны А. П. Тишину (ЦНИИМаш, Москва), который в значительной степени инициировал проведение данной работы.

Работа выполнена при частичной финансовой поддержке Российского фонда фундаментальных исследований (коды проектов 98-01-00153, 98-01-00785).

## ЛИТЕРАТУРА

1. Miller J. A., Bowman C. T. Mechanism and modeling of nitrogen chemistry in combustion // Progr. Energy Combust. Sci. 1989. V. 15. P. 287.
2. Drake M. C., Blint R. J. Calculation of  $\text{NO}_x$  formation pathways in propagating laminar, high pressure premixed  $\text{CH}_4/\text{air}$  flames // Combust. Sci. Technol. 1991. V. 75. P. 261–285.
3. Buriko Yu. Ya., Gorbatko A. A., Tchepin S. A., et al. NO predictions for aerocombustors and gas turbine engines based on flamelet model for turbulent diffusion combustion // 1995 Yokohama Intern. Gas Turbine Congress, Japan. 1995. V. II. P. 291.
4. Математическая теория горения и взрыва / Я. Б. Зельдович, Г. И. Баренблatt, В. Б. Либрович, Г. М. Махвиладзе. М.: Наука, 1980.
5. Термодинамические и теплофизические свойства продуктов сгорания / В. Е. Алессов, А. Ф. Драгалин, В. П. Тишин, В. А. Худяков / Под ред. В. П. Глушко. М.: Изд-во АН СССР, 1971. Т. 1.
6. Гиршфельдер Дж., Кертисс Ч., Берд Р. Молекулярная теория газов и жидкостей. М.: Изд-во иностр. лит., 1961.
7. Лапин Ю. В., Стрелец М. Х. Внутренние течения газовых смесей. М.: Наука, 1989.
8. Mason E. A., Saxena S. C. Approximate formula for the thermal conductivity of gas mixtures // Phys. Fluids. 1958. V. 1, N 5. P. 361–369.
9. Гинзбург И. П. Трение и теплопередача при движении смесей газов. Л.: Изд-во Ленингр. ун-та, 1975.
10. Svehla R. A. Estimated viscosities and thermal conductivities of gases at high temperature // Techn. Report R-132. NASA, Washington, D.C., 1962.
11. Strlets M. Kh. and Shur M. L. Efficient numerical algorithm for diffusive processes treating in simulation of reactive gas mixture flow // Numerical Methods in Thermal Problems / R. W. Lewis, J. H. Chin, G. M. Homsy (Eds). Pineridge Press, 1991. V. VII. Pt 2. P. 858.
12. Wilke C. R. Diffusional properties of multicomponent gases // Chem. Eng. Progr. 1950. V. 46. P. 95.
13. Chakravarthy S. R. A new class of high accuracy TVD schemes for hyperbolic conservation laws // AIAA Paper 85-0363. 1985.
14. Tsatsaronis G. Prediction of propagating laminar flames in methane, oxygen, nitrogen mixtures // Combust. Flame. 1978. V. 33. P. 217.
15. Warnatz J. The structure of laminar alkane-, alkene-, and acetylene flames / Eighteenth Symp. (Intern.) on Combustion. Pittsburgh: The Combustion Inst., 1981. P. 369.
16. Polifke W. Fundamental and practical limitations of  $\text{NO}_x$  reduction in lean-premixed combustion // Invited lecture given at Euroconference «Premixed Turbulent Combustion: Introduction to the State of the Art.» Aachen, June 8–9, 1995.
17. Buriko Yu. et al. Investigation of characteristics of the new version of the low-emission rich-lean combustor // 10th ONR Propulsion Meeting. Monterey: Naval Postgraduate School, 1997. P. 166–170.

Поступила в редакцию 10/III 1998 г.